

С - 302

ОБЪЕДИНЕННЫЙ ИНСТИТУТ ЯДЕРНЫХ ИССЛЕДОВАНИЙ

З - 11240

СЕМЕНОВ

Владимир Григорьевич

ИССЛЕДОВАНИЕ РЕАКЦИИ (n, α)
НА ДЕФОРМИРОВАННЫХ ЯДРАХ
С ПОМОЩЬЮ РЕЗОНАНСНЫХ НЕЙТРОНОВ

Специальность: 01.04.16 - физика атомного ядра
и элементарных частиц

Автореферат диссертации на соискание ученой степени
кандидата физико-математических наук

Дубна 1978

Работа выполнена в Лаборатории нейтронной физики Объединенного института ядерных исследований, г. Дубна.

Научный руководитель
старший научный сотрудник
доктор физико-математических наук

Ю.П.Попов.

Официальные оппоненты:
старший научный сотрудник
доктор физико-математических наук
старший научный сотрудник
кандидат физико-математических наук

Г.В.Мурадян,
В.Г.Чумин.

Ведущее предприятие:
Институт ядерных исследований АН УССР, г. Киев

Защита диссертации состоится " " 1978 года
в " " часов на заседании специализированного совета Д.047.01.05
при Лаборатории нейтронной физики и Лаборатории ядерных реакций
Объединенного института ядерных исследований (г. Дубна).

С диссертацией можно ознакомиться в библиотеке ОИИ.

Автореферат разослан " " 1978 года

Ученый секретарь специализированного совета

Ю.В.Таран

Актуальность проблемы

Данная работа посвящена изучению (n,α) -реакции на деформированных ядрах, впервые осуществленному с помощью резонансных нейтронов в ЛНФ ОИИ при непосредственном участии автора. Исследование этого процесса дает возможность, с одной стороны, анализировать новые характеристики таких сложных состояний, какими являются нейтронные резонансы, а с другой стороны - получать дополнительные сведения относительно самого процесса α -распада.

К настоящему времени из измерений полных и парциальных α -ширин нейтронных резонансов, проведенных для ряда сферических ядер из области массовых чисел $60 < A < 150$, получена интересная физическая информация, позволившая указать на отличие α -распада высоковозбужденных состояний от α -распада основных состояний. Анализ результатов по α -распаду нейтронных резонансов исследованных ядер показал, что поведение α -ширин в общих чертах подчиняется статистической теории ядерных реакций, которая удовлетворительно описывает их флуктуации и позволяет оценить их средние значения. В то же время ряд экспериментальных фактов можно рассматривать в качестве указания на возможное отклонение в поведении α -ширин от статистических закономерностей. Объяснение подобных эффектов может быть дано с привлечением развивающегося в настоящее время полумикроскопического подхода. Измерения α -ширин в широком диапазоне энергий возбуждения позволили получить средние α -ширины и разработать оптическую модель, описывающую взаимодействие глубоко подбарьерных α -частиц с ядром. В связи с этим приобретает важное значение получение новых экспериментальных данных об α -ширинах резонансных уровней и их изменении с энергией возбуждения для возможно более широкого круга ядер. В неисследованной ранее области ядер особый интерес представляет изучение (n,α) -реакции на деформированных ядрах, где наиболее актуальными являются вопросы, касающиеся формы ядер в высоковозбужденных состояниях, а также проявления в этих состояниях вращательных типов возбуждения. В частности, большое значение имеют сведения относительно дополнительных факторов запрета α -распада, связанных с деформацией, которые позволяют оценить вклад ротационных типов возбуждения в распад резонансных состояний. Подобные данные приведут к лучшему пониманию строения деформированных ядер, а также будут способствовать построению единой картины, адекватно описывающей структуру как сферических, так и деформированных ядер. В

рамках этой картины могут появиться аргументы в пользу гипотезы о наличии гигантских оптических максимумов при взаимодействии частиц с ядерным веществом и предположения о поверхностной α -кластеризации ядер.

Научное и прикладное значение

Исследование реакции (n, α) на резонансных нейтронах имеет важное значение для ряда фундаментальных проблем ядерной физики. Сведения относительно α -распада дискретных состояний способствуют развитию теоретических представлений о структуре нейтронных резонансов и приводят, следовательно, к лучшему пониманию строения ядра. Сведения о мнимой части оптического потенциала, получаемые из (n, α) -реакции, могут оказаться полезными при разработке астрофизических концепций, в частности при оценке обратной реакции (α, n) для медленных ядер гелия.

Данные о полных α -ширинах нейтронных резонансов имеют и существенное прикладное значение для оценок радиационных повреждений в конструкционных материалах ядерных реакторов, возникающих в результате накопления ядер гелия, как продукта реакции (n, α) .

Цели исследований

В диссертации представлены первые результаты измерений полных ширин α -распада нейтронных резонансов деформированных ядер из области массовых чисел $150 < A < 190$. Кроме того, что подобные эксперименты дают возможность продвинуться в область ядер, не исследованных ранее, они позволяют:

1. Проверить справедливость положений статистической теории для новой области ядер.
2. Оценить вклад ротационных типов возбуждения в волновую функцию резонансных состояний.
3. Получить сведения относительно факторов запрета α -распада, связанных с возможной разницей в деформациях начального и конечного состояний.
4. Сравнить экспериментальные данные с результатами расчетов согласно имеющимся и разрабатываемым модельным представлениям.

Содержание работы

Диссертация состоит из введения, четырех глав и заключения. В ней содержится 100 страниц машинописного текста, 30 рисунков, девять таблиц и библиографический список литературы (118 наименований).

Во введении дается краткая характеристика исследований реакции (n, α) , их актуальность, научное и прикладное значение, а также формулируются цели работы.

В первой главе сделан краткий обзор экспериментальных и теоретических исследований α -распада высоковозбужденных состояний атомных ядер.

Альфа-распад высоковозбужденных состояний атомных ядер представляет собой новый, по сравнению с традиционным α -распадом основных состояний, вид α -распада. Возбуждение ядра в результате захвата теплового или резонансного нейтрона позволяет существенно расширить круг α -активных ядер в области $A < 200$, поскольку вероятность вылета α -частицы в этом случае увеличивается на много порядков. При этом появляется возможность исследования для одного ядра α -распада большого числа дискретных состояний с известными квантовыми характеристиками.

При рассмотрении α -распада как квантовомеханического процесса проникновения сформированной внутри ядра α -частицы через потенциальный барьер ядра вероятность α -распада W_α можно представить в виде

$$W_\alpha = f_\alpha \sum_{f\ell} P_{\alpha f\ell} = \frac{\Gamma_\alpha}{\hbar}, \quad (1)$$

где f_α - вероятность формирования α -частицы, $P_{\alpha f\ell}$ - проницаемость потенциального барьера ядра для α -частицы с орбитальным моментом ℓ , вылетающей в результате распада на состояние f конечного ядра, Γ_α - полная α -ширина уровня составного ядра.

Статистическая теория связывает вероятность формирования α -частицы f_α со средним расстоянием $\langle D^3 \rangle$ между уровнями составного ядра с данным значением спина J :

$$\stackrel{\text{ст.}}{\Gamma_\alpha} = \frac{\langle D^3 \rangle}{2\pi} \sum_{f\ell} P_{\alpha f\ell}. \quad (2)$$

Следует отметить, что вследствие высокого кулоновского барьера для α -частиц в средних и тяжелых ядрах (даже в наиболее благоприятных в смысле поиска реакции (n, α) величина проницаемостей $P_{\alpha f\ell}$ крайне мала ($10^{-6} < P_{\alpha f\ell} < 10^{-12}$), что приводит к малым значениям Γ_α).

Дальнейшее совершенствование теории α -распада компаунд-состояний привело к описанию этого процесса на основе оптической модели. В применении к α -распаду высоковозбужденных состоя-

ний теоретическое значение средней α -шириныдается выражением

$$\Gamma_{\alpha}^{0M} = \frac{\langle D^3 \rangle}{2\pi} \sum_{f\ell} T_{\alpha f\ell}^3, \quad (3)$$

где $T_{\alpha f\ell}$ - коэффициенты прилипания оптической модели.

С развитием идеологии поверхностной α -кластеризации ядер стало возможным анализировать экспериментальные данные по α -распаду с позиций кластерной модели, в соответствии с которой значение полной α -ширины может быть представлено в виде

$$\Gamma_{\alpha}^{KM} = \Gamma_{\alpha \text{кл.}}^3 \frac{\langle D^3 \rangle}{D_0}, \quad (4)$$

где $\Gamma_{\alpha \text{кл.}}$ - полная кластерная ширина резонансного уровня, образующегося при рассеянии α -частиц на вещественной части соответствующего оптического потенциала, D_0 - расстояние между кластерными уровнями.

Анализ экспериментальных данных по α -распаду высоковозбужденных состояний ввиду сложности распадающихся состояний до сих пор проводится, в основном, в рамках статистической теории, с точки зрения которой важную роль играют средние характеристики и закономерности распределения парциальных ширин от резонанса к резонансу. Как правило, распределения ширин описываются χ^2 -распределением с величиной $V_{\text{ЭФ}}$ - эффективным числом степеней свободы в качестве параметра.

Для полных α -ширин

$$V_{\text{ЭФ}}^{\text{теор.}} = \left(\sum_{f\ell} P_{\alpha f\ell} \right)^2 / \sum_{f\ell} P_{\alpha f\ell}^2. \quad (5)$$

Исследование деформированных ядер имеет свои особенности, создающие дополнительные трудности при поиске реакции (n, α). В частности, значения α -ширин деформированных ядер из области $150 < A < 190$, в соответствии с расчетами по статистической теории, на 1-3 порядка ниже α -ширин для сферических ядер из области $60 < A < 150$, исследованных ранее. Последнее предполагает при постановке экспериментов повышение чувствительности методики обнаружения (n, α) - реакции.

В второй главе проводится сравнительный анализ известных методов регистрации α -частиц из реакции (n, α), обосновывается необходимость дальнейшего повышения чувствительности детекторов, а также дается описание конструкции и параметров разработанного автором детектора α -частиц.

Исследование (n, α) - реакции на нейтронах резонансных энергий связано со значительными методическими трудностями, к числу которых кроме чрезвычайно малых выходов (n, α) - реакции следует отнести малость потоков резонансных нейтронов и сильную конкуренцию со стороны реакции радиационного захвата. Указанные факторы предъявляют к детекторам, предназначенным для регистрации α -частиц из реакции (n, α), весьма специфические требования, а именно:

1. Большая площадь мишени, позволяющая использовать значительные (несколько десятков грамм) количества исследуемого вещества при толщине мишени порядка нескольких $\text{mg} \cdot \text{cm}^{-2}$ (из-за малого пробега α -частиц в веществе).

2. Высокая эффективность к α -частицам при низкой эффективности к δ -квантам.

3. Низкий собственный фон детектора и способность к длительной, стабильной работе в мощных полях нейтронов и δ -квантов.

Как указывалось выше, расчетные оценки полных α -ширин ядер из области $150 < A < 190$ существенно ниже, чем для ядер из области $60 < A < 150$. Попытки обнаружения (n, α) - реакции в этой области с помощью детекторов, использовавшихся ранее в экспериментах на сферических ядрах, не привели к положительным результатам. В связи с этим возникла необходимость создания нового детектора α -частиц, который, отвечая специфике исследования (n, α) - реакции, позволил бы расширить круг исследуемых ядер, а также получить дополнительную информацию на ядрах, уже исследованных к настоящему времени. Анализ различных типов детекторов привел к системе многонитевых пропорциональных счетчиков в качестве принципиальной основы нового детектора α -частиц.

Разработанная многосекционная пропорциональная камера (рис. I) содержит восемь двойных секций, смонтированных в вакуумированном корпусе. Чувствительный объем каждой секции ограничен плоскими электродами, которые одновременно являются подложками мишени. Высоковольтные электроды, выполненные в виде натянутых на кольца вольфрамовых нитей, служат также коллекторами для съема сигнала. Электростатический экран-сетка разграничивает каждую секцию на два самостоятельных чувствительных объема, обладая при этом высокой прозрачностью к α -частицам, вылетающим из мишени. Импульсы, создаваемые α -частицами в обеих половинах чувствительного объема секции, усиливаются и суммируются. Дискриминация суммарного импульса позволяет отбирать информацию для дальнейшего

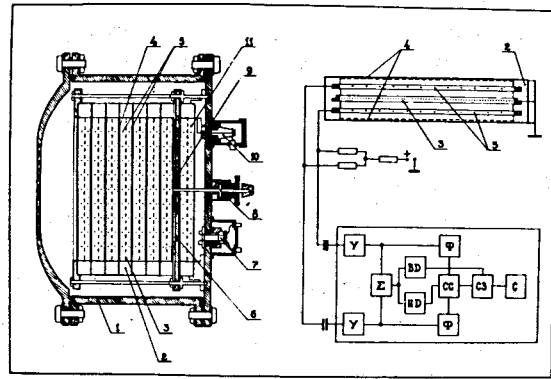


Рис. 1. Многосекционная пропорциональная камера.
Конструкция и блок-схема электронной аппаратуры.

анализа в заданном амплитудном окне и обеспечивает исключение импульсов от γ -квантов. Введение логических схем совпадений и запрета увеличивает число критериев отбора, при этом снижается собственный фон детектора.

Разработанный детектор α -частиц имеет следующие параметры:

1. Площадь мишеней, позволяющая использовать до 100 г исследуемого вещества, $\sim 1,3 \cdot 10^4 \text{ см}^2$.
2. Собственный фон $\sim 6 \cdot 10^{-3} \text{ имп. час}^{-1} \text{ см}^{-2}$ в интервале энергий α -частиц $4\text{-}10 \text{ МэВ}$.
3. Эффективность к α -частицам из реакции (n,α) в геометрии \mathcal{D} $\sim 90\%$ без совпадений и $\sim 50\%$ с совпадениями между полюсами чувствительного объема секций.
4. Эффективность к γ -квантам $\sim 10^{-7}\%$, причем она может быть снижена дискриминацией в 10-20 раз. Эффективность регистрации α -частиц при этом уменьшается не более чем на 10%.
5. Пропорциональная камера позволяет совмещать в одном объеме детекторы α -частиц и γ -квантов, что дает возможность проводить параллельные измерения выходов γ -квантов из реакции радиационного захвата.
6. Детектор сравнительно прост по конструкции, компактен, удобен в эксплуатации и достаточно стабилен при длительной (~ 300 часов) работе.
7. Многопараметровый отбор информации позволяет производить регистрацию α -частиц в широком амплитудном окне. Последнее дает

возможность использовать толстые (до $10 \text{ мг} \cdot \text{см}^{-2}$) мишени. Это повышает выход α -частиц, что существенно при измерении параметров резонансов с хорошим разрешением по энергии нейтронов на больших пролетных расстояниях, а также при поисках (n,α) -реакции на новых ядрах, имеющих выходы α -частиц, меньшие по сравнению с уже исследованными.

В третьей главе описаны экспериментальные исследования реакции (n,α) на деформированных ядрах и метод обработки полученных результатов.

В экспериментах по поиску реакции (n,α) на деформированных ядрах в качестве мишеней использовались обогащенные изотопы ^{155}Gd , ^{157}Gd , ^{171}Yb и ^{177}Hf , а также естественные смеси изотопов европия и осмия. Использование четно-нечетных (за исключением ^{151}Eu) ядер-мишеней позволяло за счет энергии спаривания налетающего нейтрона получить дополнительную энергию возбуждения ядра, а следовательно, и большую вероятность вылета α -частицы. Измерения проводились с использованием метода времени пролета в режиме совместной работы линейного ускорителя электронов и импульсного реактора ОИЯИ в качестве бустера. В таблице I представлены характеристики мишеней, а также некоторые сведения об условиях конкретных экспериментов.

В результате проведенных экспериментов был обнаружен α -распад резонансных состояний ядер ^{152}Eu , ^{156}Gd , ^{171}Yb и ^{177}Hf .

Для ядер ^{158}Gd , ^{188}Os и ^{190}Os даны верхние оценки эффекта. На рис. 2 и 3 приведены зависимости выходов α -частиц от энергии

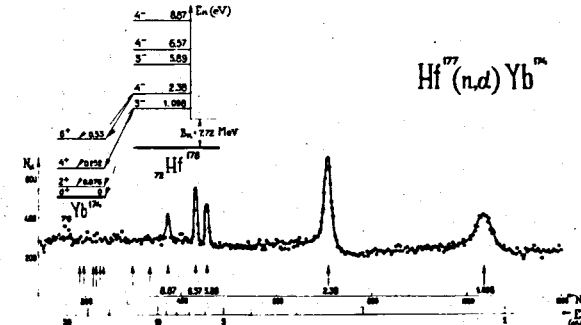


Рис.2. Зависимость выхода α -частиц от энергии нейтронов в реакции $^{177}\text{Hf}(n,\alpha)^{174}\text{Yb}$.

Таблица I

Ядро-изотоп	Вид соединения	Содержание изотопа (%)	E_{α} (МэВ)	Полная площадь мишени (см ²)	Толщина слоя сечения (мкг см ⁻²)	Время разрешение (мкс м ⁻¹)	Время измерения (час)
^{151}Eu	Eu_2O_3	47,8 (*)	7,60	3200	5,0	0,19	100
^{155}Gd	Gd_2O_3	83,3 88,0	7,90	5100	7,3	0,13	120
^{157}Gd	Gd_2O_3	92,3	7,66	5100	7,2	0,13	240
^{171}Yb	Yb_2O_3	90,2	9,60	3400	7,9	0,13	410
^{177}Hf	Hf_2O_3	85,4	9,70	4800	3,5	0,13	180
^{187}Os	металл	1,6 (*)	10,84	6800	9,1	0,13	180
^{189}Os	металл	16,1 (*)	10,85	6800	9,1	0,13	180
^{147}Sm (калибр)	Sm_2O_3	96,4	9,80	850	5,2	0,19 0,13	-

(*) – образцы представляли собой естественную смесь изотопов

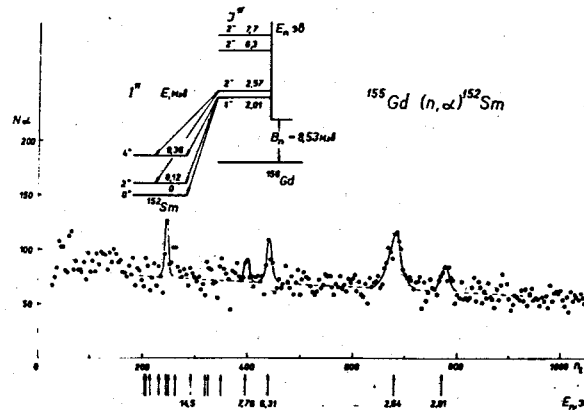


Рис. 3. Зависимость выхода α -частиц от энергии нейтронов в реакции $^{155}\text{Gd}(n,\alpha)^{152}\text{Sm}$. нейтронов в реакциях $^{177}\text{Hf}(n,\alpha)^{174}\text{Yb}$ и $^{155}\text{Gd}(n,\alpha)^{152}\text{Sm}$.

Обработка полученных результатов проводилась относительным методом с помощью нормировки на резонанс калибровочного элемента ^{147}Sm с известными α -ширинаами. Значения полных α -ширин вычислялись по формуле

$$\Gamma_{\alpha}^x = \frac{\sum N_{\alpha}^x \cdot \Phi^k A^k \Gamma_x^k \varepsilon^k \Gamma_{\alpha}^k}{\sum N_{\alpha}^k \cdot \Phi^x A^x \Gamma^k \varepsilon^x}, \quad (6)$$

где $\sum N_{\alpha}^x$ и $\sum N_{\alpha}^k$ – суммы отсчетов детектора α -частиц за вычетом фона в пределах, соответствующих границам резонансов; Φ^x и Φ^k – потоки нейтронов в пределах резонансов; A^x и A^k – площади соответствующих резонансов на кривой пропускания; Γ_x^k , Γ^k , Γ_{α}^x и Γ_{α}^k – полные и α -ширины резонансов. Индексами "x" и "k" обозначены величины, относящиеся к резонансам исследуемого и калибровочного изотопов, соответственно.

Четвертая глава посвящена обсуждению полученных значений полных α -ширин деформированных ядер с точки зрения теоретических представлений.

При переходе к исследованию деформированных ядер можно ожидать некоторых особенностей в поведении полных α -ширин. В этом плане представляет интерес анализ экспериментальных данных с точки зрения общих закономерностей распада компаунд-состояний, опи-

сываемых статистической теорией, а также их сравнение с расчетными значениями.

В таблице 2 приведены экспериментальные средние значения полных Δ -ширин $\langle \Gamma_{\Delta} \rangle_{\text{эксп.}}$ исследованных деформированных ядер. Погрешность в определении $\langle \Gamma_{\Delta} \rangle_{\text{эксп.}}$ включает в себя как погрешность эксперимента, так и погрешность, вызванную ограниченным набором

N измеренных Δ -ширин. В таблице 2 приведены также значения $\langle \Gamma_{\Delta} \rangle_{\text{теор. опм.}}$ и $\langle \Gamma_{\Delta} \rangle_{\text{теор. км.}}$, рассчитанные по оптической и кластерной моделям, и величины $\gamma_{\text{эф.}}$, рассчитанные с использованием проницаемостей кластерной модели.

Как известно, деформированные ядра характеризуются высокой плотностью уровней вблизи основного состояния. Так как проницаемость кулоновского барьера быстро спадает с уменьшением энергии

Δ -частиц, то полные Δ -ширины определяются, главным образом, переходами на наименее уровни дочернего ядра, в нашем случае - уровни основной ротационной полосы. Следовательно, по распределению Δ -ширин, характеризующемуся параметром $\gamma_{\text{эф.}}$, в области деформированных ядер можно судить о наличии корреляции парциальных Δ -ширин для переходов на уровни, являющиеся членами этой полосы. При наличии корреляции с коэффициентом $r = 1$ распределение полных Δ -ширин будет стремиться к распределению типа χ^2 с

$\gamma_{\text{эф.}} = 1$ (распределению Портера-Томаса), а при отсутствии корреляции ($r = 0$) величина $\gamma_{\text{эф.}}$ может достигать 4-5. Таким образом, получение экспериментального значения $\gamma_{\text{эф.}}$ может способствовать выяснению структуры компаунд-состояний, в частности оценке вклада ротационных типов возбуждения в волновую функцию резонансных состояний деформированных ядер.

Пока наши экспериментальные данные не позволяют определить значение $\gamma_{\text{эф.}}$ с достаточной точностью из-за малого количества измеренных Δ -ширин. Тем не менее нами была сделана попытка получить информацию о распределении полных Δ -ширин для набора ядер с близкими значениями $\gamma_{\text{эф.}}$ с целью грубой проверки справедливости положения статистической теории о независимости флюктуаций приведенных Δ -ширин в отдельных каналах при переходе от резонанса к резонансу. Для этого рассматривалось распределение некоторой величины $\Gamma^* = 2\Gamma_{\Delta}/\langle D \rangle \sum_{\text{спин}} P_{\text{спин}} \Gamma_{\Delta}$, для которой введение среднего расстояния между уровнями с данным спином $\langle D \rangle$ позволило, в известной степени, исключить влияние индивидуальных характеристик ядер. Проверка справедливости подобной процедуры осу-

Таблица 2.

Бро- кишень	J^P	Число резо- нансов N	$\langle \Gamma_{\Delta} \rangle_{\text{эксп.}}$ (эВ)	$\langle \Gamma_{\Delta} \rangle_{\text{теор. опм.}}$ (эВ)	$\langle \Gamma_{\Delta} \rangle_{\text{теор. км.}}$ (эВ)	$\gamma_{\text{эф.}}$
^{161}Eu	2^+	-	-	-	-	-
	3^+	1	$(2,5 \pm 1,5) \cdot 10^{-10}$	$(0,89 \pm 0,25) \cdot 10^{-10}$	$(4,3 \pm 1,2) \cdot 10^{-10}$	3,4
	1^-	1	$(0,6 \pm 0,5) \cdot 10^{-9}$	$(3,2 \pm 0,5) \cdot 10^{-9}$	$(1,7 \pm 0,3) \cdot 10^{-9}$	2,6
^{155}Gd	2^-	3	$(0,7 \pm 0,4) \cdot 10^{-9}$	$(0,95 \pm 0,16) \cdot 10^{-9}$	$(0,5 \pm 0,1) \cdot 10^{-9}$	2,0
	1^-	-	-	-	-	-
^{157}Gd	2^-	(3)	$\leq 2,3 \cdot 10^{-9}$	$(1,6 \pm 0,2) \cdot 10^{-12}$	$(8,6 \pm 1,1) \cdot 10^{-12}$	2,7
	0^-	(2)	$\leq 5,0 \cdot 10^{-8}$	$(6,8 \pm 0,5) \cdot 10^{-11}$	$(6,1 \pm 0,5) \cdot 10^{-11}$	-
^{171}Yb	1^-	4	$(1,9 \pm 0,8) \cdot 10^{-8}$	$(2,32 \pm 0,2) \cdot 10^{-8}$	$(6,2 \pm 0,5) \cdot 10^{-9}$	2,9
	3^-	3	$(2,1 \pm 0,8) \cdot 10^{-8}$	$(8,1 \pm 1,1) \cdot 10^{-8}$	$(6,1 \pm 0,8) \cdot 10^{-9}$	4,6
^{177}Hf	4^-	3	$(2,2 \pm 0,8) \cdot 10^{-8}$	$(3,0 \pm 0,4) \cdot 10^{-9}$	$(2,2 \pm 0,3) \cdot 10^{-9}$	3,7
	0^-	-	-	-	-	-
^{187}Os	1^-	(3)	$\leq 4 \cdot 10^{-7}$	$(3,7 \pm 0,7) \cdot 10^{-9}$	$(6,0 \pm 0,9) \cdot 10^{-9}$	-
	1^-	(4)	$\leq 2 \cdot 10^{-8}$	$(6,9 \pm 1,8) \cdot 10^{-11}$	$(9,2 \pm 1,4) \cdot 10^{-11}$	-
^{189}Os	2^-	(3)	$\leq 1,4 \cdot 10^{-8}$	$(2,6 \pm 0,5) \cdot 10^{-11}$	$(2,6 \pm 0,4) \cdot 10^{-11}$	-

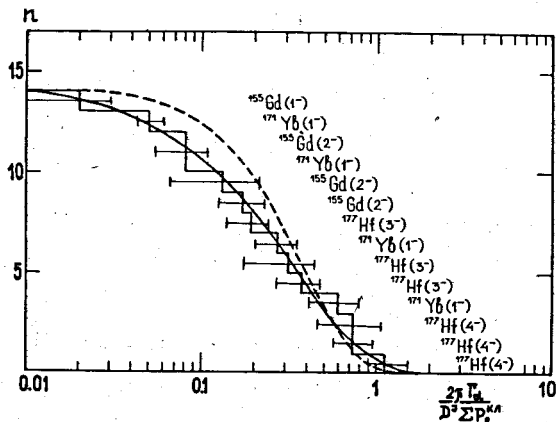


Рис. 4. Распределение величины $2\Gamma_0 \Gamma_0^{\text{эксп.}} / \langle \Gamma_0 \rangle_{\text{теор.}}$ для полных экспериментальных α -ширина резонансов деформированных ядер (гистограмма):

χ^2 -распределение с $\nu = 2$ (сплошная кривая)
 χ^2 -распределение с $\nu = 4$ (пунктирная кривая).

ществилась на α -ширинах резонансных уровней изотопов самария. На рис. 4. представлено распределение величины Γ^* для деформированных ядер ^{155}Gd , ^{171}Yb и ^{177}Hf с близкими значениями $\bar{V}_{\text{теор.}}$. Среднее значение $\bar{V}_{\text{эксп.}}$ для этих ядер по расчетам с использованием проницаемостей кластерной модели равно 3,8. Приведенное распределение (гистограмма) описывается χ^2 -распределением с $\nu = 2$ (сплошная кривая), но в то же время нельзя утверждать, что эксперимент противоречит χ^2 -распределению с $\nu = 4$ (пунктирная кривая). Таким образом, полученный результат не позволяет однозначно решить вопрос о наличии корреляций в α -переходах на уровнях ротационной полосы. К сожалению, распределение Γ^* имеет значительную погрешность, возникающую в основном за счет малого числа измеренных α -ширина, а также за счет погрешностей в определении $\Gamma_0^{\text{эксп.}}$. Поэтому выводы относительно распределения Γ^* для деформированных ядер, в частности предположение, что $r < I$, носят пока качественный характер и нуждаются в подтверждении на основании более обширного статистического материала.

Существенный интерес представляет вопрос о влиянии деформа-

ции ядер на вероятность α -распада нейтронных резонансов. Некоторую информацию об этом может дать сравнение экспериментальных средних α -ширина с расчетными значениями (таблица 2). Из представленных данных следует, что в первом приближении не наблюдается значительного расхождения экспериментальных и теоретических результатов. Последнее можно рассматривать в качестве косвенного доказательства отсутствия существенных факторов запрета, характерных для α -распада нейтронных резонансов деформированных ядер. Следует отметить, что как оптическая, так и кластерная модели разработаны для сферических ядер и не учитывают деформацию. На рис. 5

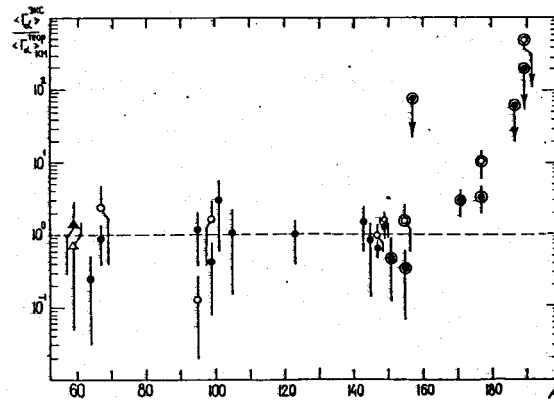


Рис. 5. Зависимость отношений $\langle \Gamma_0 \rangle_0^{\text{эксп.}} / \langle \Gamma_0 \rangle_0^{\text{теор.}}$ от атомного номера. Светлыми кружками обозначены значения $\langle \Gamma_0 \rangle_0^{\text{эксп.}} / \langle \Gamma_0 \rangle_0^{\text{теор.}}$ для четных значений спинов распадающихся состояний. Двойными кружками обозначены значения $\langle \Gamma_0 \rangle_0^{\text{эксп.}} / \langle \Gamma_0 \rangle_0^{\text{теор.}}$, полученные на основании данных настоящей работы.

представлены значения отношений $\langle \Gamma_0 \rangle_0^{\text{эксп.}} / \langle \Gamma_0 \rangle_0^{\text{теор.}}$ в зависимости от массового числа для всех ядер, исследованных ко времени окончания измерений на деформированных ядрах. Если рассмотреть среднее значение этого отношения для областей сферических ($60 < A < 150$) и деформированных ($150 < A < 190$) ядер, то имеем соответственно $1,2 \pm 0,4$ и $3,7 \pm 1,7$. Последнее может свидетельствовать как о некорректности применения расчетов, развитых для сфе-

рических ядер, к анализу данных, полученных на деформированных ядрах, так и о возможном влиянии несферичности ядра на вероятность α -распада высоковозбужденных состояний.

Отметим также эффект, обнаруженный у ядер ^{155}Gd и ^{177}Hf , для которых измерены α -ширины резонансов с различными спинами. Для распадающихся состояний с четными значениями спина $2^-(^{156}\text{Gd})$ и $4^-(^{178}\text{Hf})$ переход в основное состояние дочернего ядра запрещен правилами отбора. Из сравнения отношений $\langle\Gamma_\alpha\rangle_{\text{эксп.}}/\langle\Gamma_\alpha\rangle_{\text{теор.}}$ для четных и нечетных значений спина следует некоторое усиление вероятности α -распада на однофононное состояние 2^+ дочерних ядер по сравнению с α -переходами в основное состояние. Это усиление составляет величину $4,5 \pm 2,5$ для ^{156}Gd и $3,0 \pm 1,5$ для ^{178}Hf . Этот факт можно рассматривать как экспериментальное указание на справедливость предсказания полумикроскопической модели и, следовательно, на возможность отклонения в поведении полных α -ширин от статистических закономерностей.

В заключении сформулированы основные результаты диссертационной работы:

1. Разработан и изготовлен новый детектор для регистрации α -частиц из реакции (n, α) на резонансных нейтронах, параметры которого позволили перенести экспериментальное исследование реакции (n, α) в область ядер, недоступных для ранее использовавшихся детекторов.

2. Впервые получены значения полных α -ширин для 15 нейтронных резонансов ядер ^{151}Eu ; ^{155}Gd ; ^{171}Yb ; ^{177}Hf . Для ядер ^{157}Gd ; ^{187}Os и ^{189}Os даны верхние оценки полных α -ширин. Измеренные значения полных α -ширин в 10 ± 100 раз меньше полученных до настоящей работы.

3. На основании анализа экспериментальных результатов сделан вывод о применимости, в общих чертах, представлений статистической теории к α -распаду высоковозбужденных состояний деформированных ядер.

4. Сравнение полученных экспериментальных результатов с теоретическими расчетами, выполненными на основе оптической и кластерной моделей, разработанных для сферических ядер, привело к определенным расхождениям в области деформированных ядер, однако однозначная интерпретация этого факта представляется пока невозможной.

5. Как указание на возможное отклонение в поведении полных α -ши-

рин деформированных ядер от статистических закономерностей, отмечается некоторое усиление приведенных α -переходов в первое возбужденное состояние дочернего ядра для составных ядер ^{156}Gd и ^{178}Hf . Этот эффект рассматривается в качестве экспериментального подтверждения предсказания полумикроскопической модели.

Основные результаты диссертации были представлены в докладах на Международной конференции по изучению структуры ядра с помощью нейтронов (Будапешт, 1972), а также на I-III Всесоюзных конференциях по нейтронной физике и опубликованы в работах:

1. Ю.П.Попов, В.Г.Семенов, М.Флорек. ОИИ, РЗ-5875. Дубна (1971).
2. Ю.П.Попов, В.К.Родионов, Р.Ф.Руми, В.Г.Семенов, М.Стэмпиньски, М.Флорек. В сб. "Нейтронная физика", ч. I, стр. 165. "Наукова Думка," Киев (1972).
3. Ю.П.Попов, М.Лиштула, Р.Ф.Руми, В.Г.Семенов, М.Стэмпиньски, М.Флорек, В.И.Фурман. В сб. "Нейтронная физика", ч. I, стр. 151. "Наукова Думка," Киев (1972).
4. Н.П.Балабанов, Ю.П.Попов, К.Г.Родионов, В.Г.Семенов. ОИИ, Р-13-6602, Дубна (1972).
5. N.P.Balabanov, Yu.P.Popov, V.G.Semenov. Contributions Conf. Nucl. Structure Study with Neutrons, B4, p.140, Budapest (1972).
6. Н.П.Балабанов, Ю.М.Гледенов, Ким Тхе Себ, Ю.П.Попов, В.Г.Семенов, М.Флорек. ОИИ, РЗ-7376, Дубна (1973).
7. Н.П.Балабанов, Ю.М.Гледенов, Ким Тхе Себ, Ю.П.Попов, В.Г.Семенов. В сб. "Нейтронная физика", т. 2, стр. 148. Обнинск (1974).
8. Н.П.Балабанов, Ю.М.Гледенов, Пак Хон Чер, Ю.П.Попов, В.Г.Семенов. ОИИ, РЗ-8653, Дубна (1975).
9. Н.П.Балабанов, Ю.М.Гледенов, Пак Хон Чер, Ю.П.Попов, В.Г.Семенов, Ф.И.Фурман. В сб. "Нейтронная физика", т. 4, стр. 60, М. (1976).

Рукопись поступила в издательский отдел
6 января 1976 года.